

Fyzika biopolymerů

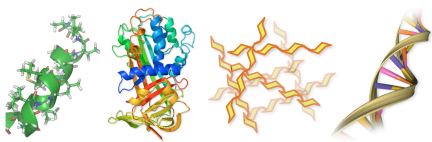
Elektrostatické interakce ve vakuu

Robert Vácha

Kamenice 5, A4 2.13
robert.vacha@mail.muni.cz



Biopolymery



Co již znáte:

- biopolymery jsou biologické polymery - řetězce kovalentně propojených monomerních jednotek (nukleových kyselin, aminokyselin, sacharidů)
- DNA, RNA, proteiny, celuloza, glykogen, chitin, škrob, ...
- struktura primární, sekundární, terciální, kvaternářní

Co se dozvítě:

- interakce biopolymerů a v biopolymerech
- směsi biopolymerů
- změny konformace
- modely biopolymerů

2

Interakce

$V(r) = \text{interakční energie mezi dvěma částicemi}$ Interakce: 1. vazebné 2. nevazebné

$$\text{derivací potenciálu je síla} \quad F = -\frac{dV(r)}{dr}$$

$$\text{jednotky energie} \quad 1 \text{ J} = 0.239 \text{ cal} = 6.242 \times 10^{18} \text{ eV} = 2.43 \times 10^{20} \text{ kT (25°C)}$$

$$1 \text{ kT (25°C)} = 0.529 \text{ kcal mol}^{-1} = 2.478 \text{ kJ mol}^{-1}$$

$$1 \text{ kT} = 4.114 \times 10^{-21} \text{ J (25°C)} = 4.045 \times 10^{-21} \text{ J (20°C)}$$

$$1 \text{ kcal mol}^{-1} = 4.184 \text{ kJ mol}^{-1} (1 \text{ cal} = 4.184 \text{ J})$$

$$1 \text{ eV} = 1.602 \times 10^{-19} \text{ J} = 23.06 \text{ kcal mol}^{-1}$$

$$1 \text{ cm}^{-1} = 1.986 \times 10^{-23} \text{ J}$$

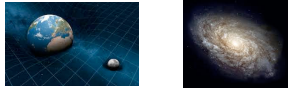
Boltzmannova konstanta	k, k_B	$1.381 \times 10^{-23} \text{ JK}^{-1}$
Avogadrovo číslo	N_A	$6.022 \times 10^{23} \text{ mol}^{-1}$
Plynová konstanta	$R=k \times N_A$	$8.314 \text{ JK}^{-1} \text{ mol}^{-1}$
Náboj elektronu	e	$1.602 \times 10^{-19} \text{ C}$
Rychlosť svetla	c	$2.998 \times 10^8 \text{ ms}^{-1}$
Permitivita vakuua	$\epsilon = 10^{-7} 4\pi c^2$	$8.854 \times 10^{-12} \text{ C}^2 \text{ J}^{-1} \text{ m}^{-1}$

3

Základní síly/interakce

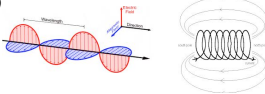
Gravitace (Isaac Newton, 1687)

- úměrnost $1/r^2$
- elementární částice - graviton (hypotetická)



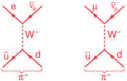
Elektromagnetismus (James Clerk Maxwell - 1864)

- 10^{36} krát silnější než gravitace
- úměrnost $1/r^2$
- elementární částice - foton



Slabá interakce (Enrico Fermi - 1934; později Glashow, Salem, and Weinberg - 1979)

- 10^{29} krát silnější než gravitace
- úměrnost $1/r^2 \exp(-m_W r)$
- dosah 10^{-18} m
- elementární částice - bosony W a Z



Silná interakce (Murray Gell-mann and George Zweig - 1961)

- 10^{38} krát silnější než gravitace
- dosah 10^{-15} m (10x průměr atomového jádra)
- elementární částice - gluony



4

Electromagnetické síly

- určují (dominují) interakci mezi atomy a molekulami: vazebné síly, nevazebné síly, vodíkové vazby, solné můstky, atd.

- jsou konzervativní

Příklad: Interakce dvou iontů (Na^+ Cl^-) ve vakuu:

Gravitační síla (Newton):

$$F_G = G \frac{m_{\text{Na}} m_{\text{Cl}}}{r^2}$$

Electromagnetická síla (Coulomb):

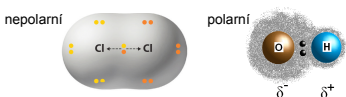
$$F_C = \frac{1}{4\pi\epsilon_0} \frac{Q_{\text{Na}} Q_{\text{Cl}}}{r^2}$$

5

1. Vazebné interakce - chemická vazba

rozsah 1.5 - 3.0 ångström = 10^{-10} m, změněná distribuce elektronové hustoty mezi atomy

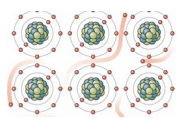
1) kovalentní vazba - 60 - 1000 kJ/mol



2) iontová vazba - 300 - 3000 kJ/mol



3) kovová vazba - 80 - 1000 kJ/mol



6

2. Nevazebné interakce

Nevazebné elektrostatické interakce seřazené podle velikosti (multipólový rozvoj = série popisující prostorové rozdělení):

- náboj - náboj
- náboj - dipól
- dipól - dipól
- náboj - indukovaný dipól
- dipól - indukovaný dipól

A - Coulombovská interakce (náboj-náboj)

Síla: $F_C = -\frac{1}{4\pi\epsilon} \frac{Q_1 Q_2}{r^2}$

Potenciál: $V_C = \frac{1}{4\pi\epsilon} \frac{Q_1 Q_2}{r}$

$$\epsilon_0 = 8.854 \times 10^{-12} C^2 N^{-1} m^{-2} \quad \frac{1}{4\pi\epsilon_0} = 10^{-7} c^2 m/F$$

7

Příklad

Spočítejte interakční energii mezi Na⁺ a Cl⁻ ve vakuu.
Uvažujte vzdálenost mezi ionty 2.8 Å.

Řešení

Pro jednoduchost bylo zavedeno:

$$\frac{1}{kT} V = \frac{1}{4\pi\epsilon kT} \frac{e^2}{r} \frac{z_1 z_2}{r} = l_B \frac{z_1 z_2}{r}$$

l_B je Bjerrumova délka a
 z je valence

8

Table 3.2 Static Dielectric Constants ϵ of Some Common Liquids and Solids at 25°C^a

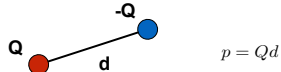
Compound	ϵ	Compound	ϵ
Hydrogen-bonding			
Methyl-formamide	HCONHCH ₃	182.4	Polymers
Formamide	HCONH ₂	109.5	Nylon 3.7–4.2
Hydrogen fluoride	HF (at 0°C)	84	PTFE, Fluorocarbons 2.0, 2.1–3.6
Water	H ₂ O	78.5	Polycarbonate 3.0
Water	D ₂ O	77.9	Polystyrene 2.4
Formic acid	HCOOH (at 16°C)	58.5	Silicone oil 2.8
Glasses			
Ethylene glycol	C ₂ H ₆ (OH) ₂	40.7	Fused quartz SiO ₂ 3.8
Methanol	CH ₃ OH	32.6	Soda glass 7.0
Ethanol	C ₂ H ₅ OH	24.3	Borosilicate glass 4.5
n-Propanol	C ₃ H ₇ OH	20.2	
Ammonia	NH ₃	16.9	Crystalline solids
Acetic acid	CH ₃ COOH	6.2	Diamond (carbon) 5.7
Non-hydrogen-bonding, polar			
Acetone	(CH ₃) ₂ CO	20.7	Crystalline quartz SiO ₂ 4.5
Chloroform	CHCl ₃	4.8	Micas 5.4–7.0
Nonpolar			Sodium chloride NaCl 6.0
Benzene	C ₆ H ₆	2.3	Alumina Al ₂ O ₃ 8.5
Carbon tetrachloride	CCl ₄	2.2	
Cyclohexane	C ₆ H ₁₂	2.0	Miscellaneous
Dodecane	C ₁₂ H ₂₆	2.0	«1, up to 10 ⁴
Hexane	C ₆ H ₁₄	1.9	Water (liquid at 0°C) 87.9
			Water (ice at 0°C) 91.6–106.4
			Paraffin (liquid) 2.2
			Paraffin wax (solid) 2.2
			Liquid helium (2–3 K) 1.055
			Air (dry) 1.00054

^aThe dielectric constant is a measure of the extent of reduction of electric fields and, consequently, of the reduced strengths of electrostatic interactions in a medium.

Jacob N.
Israelachvili:
Intermolecular
and Surface
Forces 3rd ed.
Academic press
2011 p.65

9

B - Dipólové interakce (náboj-dipól, dipól-dipól)



$$p = Qd$$

Pozor: jsou dvě různé definice dipólu: fyziči - od minus k plus
 chemici - od plus k minus

Electrostatický potenciál dipólu získáme součtem potenciálů od jednotlivých nábojů: pro dipól orientovaný v ose z :

$$V_E = \frac{1}{4\pi\epsilon} \left(\frac{-Q}{\sqrt{x^2 + y^2 + (z - d/2)^2}} + \frac{Q}{\sqrt{x^2 + y^2 + (z + d/2)^2}} \right)$$

$$V_E = \frac{1}{4\pi\epsilon} \left(\frac{-Q}{\sqrt{r^2(1 - \tilde{z}d/r^2)}} + \frac{Q}{\sqrt{r^2(1 + \tilde{z}d/r^2)}} \right)$$

rozvineme $\left(1 - \frac{zd}{r^2}\right)^{-1/2}$ a zanedbánime členy s mocninami d vyššími než 2

10

$$V_E = \frac{1}{4\pi\epsilon} \left[\frac{-Q}{r} \left(1 + \frac{1}{2} \frac{zd}{r^2} \right) + \frac{Q}{r} \left(1 - \frac{1}{2} \frac{zd}{r^2} \right) \right]$$

$$= -\frac{1}{4\pi\epsilon} \frac{Qzd}{r^3} - \frac{1}{4\pi\epsilon} \frac{zp}{r^3}$$

$$= - \frac{4\pi\epsilon}{r^3} \frac{v}{r^3} = - \frac{4\pi\epsilon}{r^3} \frac{x}{r^3}$$

pro dipól orientovaný v libovolném směru: $z/r \rightarrow \cos \theta$

$$V_E = -\frac{1}{4\pi\epsilon} \frac{Qzd}{r^3} = -\frac{1}{4\pi\epsilon} \frac{p \cos \theta}{r^2}$$

interakce náboj - dipól

$$V = -\frac{1}{4\pi\epsilon} \frac{Q_1 p_2 \cos\theta}{r^2}$$

interakce náboj - rotující dipól

pokud dipól může rotovat v rámci tepleného pohybu (energie), pak se jeho interakce zprůměruje

všechny úhyly ale nemají stejnou pravděpodobnost: pravděpodobnost je dána Boltzmannovým faktorem a délku kružnice na povrchu jednotkové koule

$$dP = \frac{e^{-E(\theta)/kT} \sin \theta d\theta}{\int_0^\pi e^{-E(\theta)/kT} \sin \theta d\theta}$$

11

dipól v přítomnosti bodového náboje Q_1

$$dP = \frac{e^{-\frac{1}{4\pi\epsilon} \frac{Q_{1P} \cos \theta}{kT r^2}} \sin \theta d\theta}{\int_0^\pi e^{-\frac{1}{4\pi\epsilon} \frac{Q_{1P} \cos \theta}{kT r^2}} \sin \theta d\theta}$$

průměrná velikost dipólu je:

$$\langle p \cos \theta \rangle = \int_0^\pi p \cos \theta dP = \frac{\int_0^\pi p \cos \theta e^{-\frac{1}{4\pi\varepsilon} \frac{Q_1 p \cos \theta}{k T r^2}} \sin \theta d\theta}{\int_0^\pi e^{-\frac{1}{4\pi\varepsilon} \frac{Q_1 p \cos \theta}{k T r^2}} \sin \theta d\theta}$$

pokud interakční energie je menší než tepelná energie a dipól tedy může v rámci tepelného pohybu rotovat (<> značí střední hodnotu přes soubor - dostupné konfigurace)

12

Příklad

Spočítejte střední hodnotu rotujícího dipolu v přítomnosti jiného náboje. K výpočtu integrálu approximuje exponenciál Taylorovým rozvojem $e^x \approx 1 + x$

$$\langle p \cos \theta \rangle = \int_0^\pi p \cos \theta dP = \frac{\int_0^\pi p \cos \theta e^{-\frac{1}{4\pi\epsilon} \frac{Q_1 p \cos \theta}{kT r^2}} \sin \theta d\theta}{\int_0^\pi e^{-\frac{1}{4\pi\epsilon} \frac{Q_1 p \cos \theta}{kT r^2}} \sin \theta d\theta}$$

integrály, které se mohou hodit

$$\int_0^\pi \sin \theta \cos \theta d\theta = 0 \quad \int_0^\pi \sin \theta \cos^2 \theta d\theta = \frac{2}{3} \quad \int_0^\pi \sin^3 \theta d\theta = \frac{4}{3}$$

13

řešením je Langevinova funkce L , kde Taylorovým rozvojem

$$L(x) = \coth(x) - \frac{1}{x} = \frac{e^x + e^{-x}}{e^x - e^{-x}} - \frac{1}{x} = \frac{1}{3}x - \frac{1}{45}x^3 \dots$$

$$\begin{aligned} \langle p \cos \theta \rangle &= \int_0^\pi p \cos \theta dP = \frac{\int_0^\pi p \cos \theta e^{-\frac{1}{4\pi\epsilon} \frac{Q_1 p \cos \theta}{kT r^2}} \sin \theta d\theta}{\int_0^\pi e^{-\frac{1}{4\pi\epsilon} \frac{Q_1 p \cos \theta}{kT r^2}} \sin \theta d\theta} \\ &= pL\left(\frac{1}{4\pi\epsilon} \frac{Q_1 p}{kT r^2}\right) \approx \frac{1}{4\pi\epsilon} \frac{Q_1 p^2}{3kT r^2} \end{aligned}$$

Interakční potenciál náboje a rotujícího dipolu potom je:

$$\begin{aligned} \boxed{\langle V \rangle} &= -\frac{1}{4\pi\epsilon} \frac{Q_1 \langle p \cos \theta \rangle}{r^2} = \\ &= -\frac{1}{4\pi\epsilon} \frac{Q_1}{2r^2} \frac{1}{4\pi\epsilon} \frac{Q_1 p^2}{3kT r^2} = -\frac{1}{(4\pi\epsilon)^2} \frac{Q_1^2 p^2}{6kT r^4} \end{aligned}$$

Energii rotujícího dipolu s jiným dipolem nebo obecněji elektrickým polem, které vytváří v bodě dipolu potenciál $V_{external}$

$$\langle p \rangle \approx \frac{p^2 V_{external}}{3kT}$$

14

Entropická část interakce

výše uvedené interakce jsou Helmholtzovy volné energie = polovina celkové vnitřní energie pro rotující dipól => polovina energie je spotřebována na orientování dipoli

$$\text{z termodynamiky: } E = F + TS = F - T \frac{\partial F}{\partial T}$$

pro rotující dipol(y) ve vakuum: $F \sim -T^{-1}$

$$\begin{aligned} T \frac{\partial F}{\partial T} &= -F \\ E &= 2F \end{aligned}$$

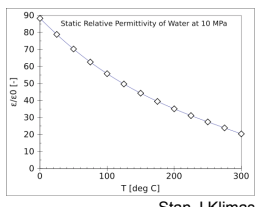
dielektrická konstanta obvykle závisí na teplotě

pro dva interagující náboje v dielektriku:

$$TS = -T \frac{\partial F}{\partial T} = \frac{1}{4\pi\epsilon} \frac{Q_1 Q_2}{r} \frac{T}{\epsilon} \frac{\partial \epsilon}{\partial T} = \frac{TF}{\epsilon} \frac{\partial \epsilon}{\partial T}$$

$$\text{pro vodu: } \frac{T}{\epsilon} \frac{\partial \epsilon}{\partial T} = -1.36$$

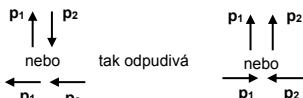
$$E = 2.36F$$



15

Interakce dipól - dipól

interakce dvou dipólů může být jak přitažlivá



obecně pro natočené dipoly:
$$V = -\frac{1}{4\pi\epsilon} \left[\frac{\vec{p}_1 \cdot \vec{p}_2}{r^3} - \frac{3(\vec{p}_1 \cdot \vec{r})(\vec{p}_2 \cdot \vec{r})}{r^5} \right]$$

$$\begin{aligned} &= -\frac{1}{4\pi\epsilon} \frac{p_1 p_2 t}{r^3} \\ t &= 2 \cos \theta_1 \cos \theta_2 - \sin \theta_1 \sin \theta_2 \cos \psi \end{aligned}$$

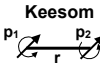
pro teplotně rotující dipoly:

pravděpodobnost stavu $P \sim e^{-V/kT} = \exp\left(\frac{1}{4\pi\epsilon} \frac{p_1 p_2 t}{kTr^3}\right)$

odtud lze odvodit (složitějším výpočtem): $\langle t \rangle = -\frac{1}{4\pi\epsilon} \frac{p_1 p_2}{kTr^3} \frac{1}{3}$

volná energie teplotně rotujících dipolů: $\langle V \rangle = -\frac{1}{(4\pi\epsilon)^2} \frac{p_1^2 p_2^2}{3kTr^6}$

vždy přitažlivá a pro volně rotující dipoly ($T \rightarrow \infty$) $V=0$



16

Table 4.1 Dipole Moments of Molecules, Bonds, and Molecular Groups (in Debye Units):
1 D = 3.336×10^{-30} C m)³

Molecules			
Alkanes	0 ^b	H ₂ O	1.85 ^c
C ₆ H ₆ (benzene)	0 ^d	C ₂ H _{2n+1} OH (alcohols)	1.7
CCl ₄	0	C ₂ H ₁ OH (cyclohexanol)	1.7
CO ₂	0 ^e	OMCT ^f	0.42
CO	0.11	CH ₃ COOH (acetic acid)	1.7
CHCl ₃ (chloroform)	1.06	C ₂ H ₂ O (ethylene oxide)	1.9
HCl	1.08	CH ₃ COCH ₃ (acetone)	2.9
HF	1.91 ⁱ	HCONH ₂ (formamide)	3.7 ^j
NH ₃	1.47	C ₆ H ₅ OH (phenol)	1.5
CH ₃ Cl	1.87	C ₆ H ₅ NH ₂ (aniline)	1.5
NaCl	8.5	C ₆ H ₅ Cl (chlorobenzene)	1.8
CsCl	10.4	C ₆ H ₅ NO ₂ (nitrobenzene)	4.2

Bond Moments

C-H ⁺	0.4	C-C	0	C=Cl	1.5–1.7
N-H ⁺	1.31	C=C	0	N=O	0.3
O-H ⁺	1.51	C=N	0.22	C=O	2.3–2.7
F-H ⁺	1.94	C=O	0.74	N=O	2.0

Group Moments

C-CH ₃	0.4	C-COOH	1.7	Adenine	-3
C-OH	1.65	C-CH ₃	1.3	Thymine	-4
C-NH ₂	1.2–1.5	C=NO ₂	3.1–3.8	Guanine	-7

Jacob N.
Israelachvili:
Intermolecular
and Surface
Forces 3rd ed.
Academic press
2011 p.72

^aData compiled from Wesson (1948), Smyth (1955), Davies (1955), Landolt-Bornstein (1982), and Jasien and Fitzgerald (1990).

^bDepends on conformation (e.g., cyclopropane has a dipolar moment).

^cHydrogen-bonding molecules can have different dipole moments in the gas, liquid, and solid phases, as well as in different solvents.

^dBenzene has six C-H⁺ dipoles pointing radially out, giving rise to a zero net dipole moment but that also attracts cations to the center of the molecule.

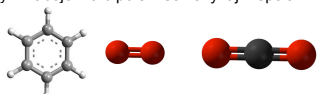
^eCO₂ has two C=O⁺ dipoles pointing in opposite directions, giving rise to a zero net dipole moment.

^fOctamethyl cyclotetrasiloxane, a quasi-spherical molecule of low polarity that is commonly used as a model solvent or solute in fundamental studies of intermolecular interactions.

17

C - Interakce nepolárních částic

částice s nulovým nábojem a dipolem se nazývají nepolární (N₂, CO₂, benzen, ...)



elektrické pole na nich může indukovat dipol deformací elektronové hustoty
indukovaný dipol je v prvním přiblížení přímo úměrný elektickému poli

$$p_{\text{indukovaný}} = \alpha E$$

polarizovatelnost α je:

- tenzor, který může být neisotropní
- přibližně úměrná objemu molekuly
- dána především valenčními elektrony
- π elektrony jsou polári zavolenější než σ elektrony
- interakce kovových nanokrystalů nebo nanotrubiček mohou být silné díky množství volně vázaných elektronů

pro malé molekuly lze získat odhad polarizovatelnosti součtem polarizovatelnosti vazeb

18

Table 5.1 Electronic Polarizabilities α_0 of Atoms, Molecules, Bonds, and Molecular Groups^a

Atoms and Molecules				
He	0.20	NH ₃	2.3	CH ₂ =CH ₂ 4.3
H ₂	0.81	CH ₄	2.6	C ₂ H ₆ 4.5
H ₂ O	1.45–1.48	HCl	2.6	Cl ₂ 4.6
O ₂	1.60	CO ₂	2.9	CHCl ₃ 8.2
Ar	1.63	CH ₃ OH	3.2	C ₆ H ₆ 10.3
CO	1.95	Xe	4.0	CCl ₄ 10.5

Bond Polarizabilities				
C=C aliphatic	0.48	C–H	0.65	C–Cl 2.60
C=C aromatic	1.07	O–H	0.73	C–F 0.73
C=C	1.65	C–O	0.60	Si–Si 2.24
C≡C	2.39	C=O	1.36	Si–H 1.27

Molecular Groups				
C–O–H	1.3	–CH ₂ –	1.84	CF ₃ 2.4
C–O–C	1.1	CH ₃	2.0	Si–O–Si 1.4
C–NH ₂	2.0	–CF ₃ –	2.0	Si–OH 1.6

^aPolarizabilities α_0 are given in volume units of $(4\pi\alpha_0)\text{Å}^3 = (4\pi\alpha_0)10^{-30} \text{ m}^3 = 1.11 \times 10^{-40} \text{ C}^2 \text{ m}^2 \text{ J}^{-1}$. Note that when molecules are dissolved in a solvent medium, their polarizability can change by up to 10%. Data compiled from CRC Handbook of Chemistry and Physics, 87th Edition (2006–2007), Derjaguin (1940), Hirschfelder et al., (1954), and Smyth (1955).

Jacob N. Israelachvili: Intermolecular and Surface Forces 3rd ed. Academic press 2011 p.93

19

interakce náboje s indukovaným dipólem = interakce náboje a pevného dipolu ve směru pole:

$$\begin{aligned} E &= -\frac{1}{4\pi\epsilon r^2} p_2 \cos\theta \\ &= -\frac{1}{4\pi\epsilon r^2} \alpha_2 \frac{1}{4\pi\epsilon} \frac{Q_1}{r^2} \\ &= -\frac{1}{(4\pi\epsilon)^2} \frac{Q_1^2 \alpha_2}{r^4} \end{aligned}$$

musíme ovšem odečíst energii spotřebovanou na indukování dipolu $\frac{1}{(4\pi\epsilon)^2} \frac{Q_1^2 \alpha_2}{2r^4}$

volná interakční energie je:

$$V = -\frac{1}{(4\pi\epsilon)^2} \frac{Q_1^2 \alpha_2}{2r^4}$$

obdobně interakce indukovaného dipolu v poli fixovaného nebo rotujícího dipolu obecně pro dvě polarizovatelné molekuly s dipoly dostaneme Debyeho interakci:

$$V = -\frac{1}{(4\pi\epsilon)^2} \frac{p_1^2 \alpha_2 + p_2^2 \alpha_1}{r^6}$$

20

Přehled elektrostatických interakcí

náboj - náboj (Coulomb)



$$\frac{1}{4\pi\epsilon} \frac{Q_1 Q_2}{r}$$

náboj - dipól



$$-\frac{1}{4\pi\epsilon} \frac{Q_1 p_2 \cos\theta}{r^2}$$

náboj - rotující dipól



$$-\frac{1}{(4\pi\epsilon)^2} \frac{Q_1^2 p_2^2}{6kr^4}$$

Dipol může rotovat, pokud velikost interakční energie je menší než kT.
Dáno Boltzmanovskou distribucí stavů.

náboj - indukovaný dipól

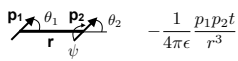


$$-\frac{1}{(4\pi\epsilon)^2} \frac{Q_1^2 \alpha_2}{2r^4}$$

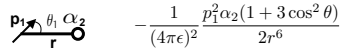
Polarizovatelnost α určuje velikost indukovaného dipolu $p = \alpha E$

21

pevný dipól - pevný dipól



pevný dipól - indukovaný dipól



Interakce

model

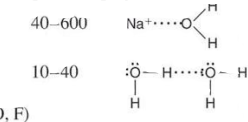
Ion-dipole



Ion charge –
dipole charge

V [kJ/mol]

40–600

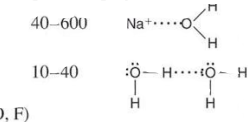


H bond



δ^- δ^+ δ^-

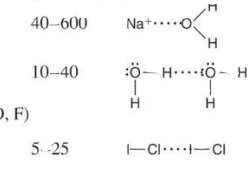
A–H···B–



Dipole-dipole



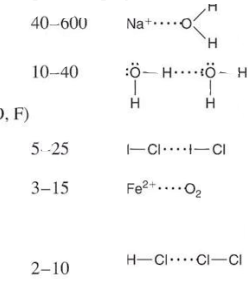
Dipole charges



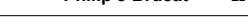
Ion-induced
dipole



Ion charge –
polarizable e⁻
cloud



Dipole charge –
polarizable e⁻
cloud



Philip J Brucat

22

3. Nevazebné neelektrostatické interakce

A - van der Waals

van der Waals = Keesom + Debye + London

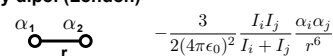
rotující dipól - rotující dipól (Keesom)



rotující dipól - indukovaný dipól (Debye)



indukovaný dipól - indukovaný dipól (London)



$$V \sim \frac{1}{r^6}$$

23

B - Repulze

elektronové obaly atomů se začnou odpuzovat pokud se atomy k sobě přiblíží na několik ángstrómů

odpudivá interakce je: $V \sim e^{-r/\sigma}$ σ je konstanta související s velikostí atomu

pro výpočetní jednoduchost se častěji používá mocnina: $V \sim \left(\frac{\sigma}{r}\right)^n$

van der Waalsova a repulzní interakce se nejčastěji popisuje Lennar-Jonesovým potenciálem

$$4\epsilon \left[\left(\frac{\sigma}{r}\right)^{12} - \left(\frac{\sigma}{r}\right)^6 \right] = \frac{A}{r^{12}} - \frac{B}{r^6}$$

efektivní poloměry atomů, molekul a iontů v nm

Ne	Ar	Kr	Xe	CH ₄	C ₂ H ₆
0.154	0.188	0.201	0.216	0.20	0.275
H ₂ O	O ₂	N ₂	NH ₃	HCl	HBr
0.18	0.18	0.18	0.18	0.19	
CH ₃ OH	CH ₂ Cl	CH ₃ Cl	CH ₃ Br	CH ₃ I	CH ₃ Cl ₂
0.21	0.215	0.235	0.265	0.285	0.285
-CH ₃ group	-CH ₂ - group	-NH ₂ - group	-OH- group	-NH ₂ - group	Aromatic ring
0.20	0.20	0.17	0.145	0.07	0.07

Jacob N.
Israelachvili:
Intermolecular
and Surface
Forces 3rd ed.
Academic press
2011 p.134

24

Příklad

Mějme bodový náboj v blízkosti polarizovatelné molekuly. Co se stane když k molekule z druhé strany přiblížíme druhý bodový náboj stejně velikosti a znaménka?

Řešení

25

Shrnutí některých vztahů termodynamiky

energie	entalpie	Helmholtzova ve	Gibbsova ve
$dE = Q + W$	$H = E + pV$	$F = E - TS$	$G = E - TS + pV$
ve=volná energie			

soubor

$$NVE : \quad dE = TdS - pdV + \sum_i \mu_i N_i$$

$$NpE : \quad dH = TdS + Vdp + \sum_i \mu_i N_i$$

$$NVT : \quad dF = -SdT - pdV + \sum_i \mu_i N_i$$

$$NpT : \quad dG = -SdT + Vdp + \sum_i \mu_i N_i$$

Gibbs-Dunham

$$-SdT + Vdp = \sum_i N_i d\mu_i$$

vztah mezi změnou entropie a teplom

$$dS = \frac{\delta Q_{rev}}{T}$$

27

Boltzmannova distribuce stavů

v kanonickém souboru (NVT) je Helmholtzova volná energie $dF = dE - TdS = 0$

energie E je průměrná hodnota přes soubor $E = \langle E \rangle = \sum_i p_i E_i$

p_i je pravděpodobnost i-tého stavu s energií E_i

derivací dostaneme $dE = \sum_i (E_i dp_i + p_i dE_i) = \sum_i E_i dp_i$

neboť energie stavu závisí na N, V ale ne na S nebo T

entropii můžeme spočítat na základě statistické mechaniky jako

$$S = -k \sum_i p_i \ln p_i \quad \text{ míra uspořádanosti}$$

$$dS = -k \sum_i (1 + \ln p_i) dp_i$$

dosadíme do počátečního vztahu pro Helmholtzovu volnou energii

$$dF = \sum_i [E_i + kT(1 + \ln p_i)] dp_i = 0$$

řešením rovnice je pravděpodobnost jednotlivých stavů (po normalizaci)

$$p_i = \frac{e^{-\frac{E_i}{kT}}}{\sum_i e^{-\frac{E_i}{kT}}} = \frac{e^{-\frac{E_i}{kT}}}{Q}$$